

*Parallélisation du code Mistral, solveur par éléments finis  
d'un problème de MHD bifluide tridimensionnel*

**A. Orriols,**

**J.-F. Gerbeau, C. Le Bris et T. Lelièvre**

orriols@cermics.enpc.fr

CERMICS - École Nationale des Ponts et Chaussées

9 février 2005

# Plan de l'exposé

---

- Introduction
- Le code *Mistral*
- La librairie *Aztec*
- Parallélisation du code *Mistral* avec *Aztec*
- Conclusion

## La nécessité de la parallélisation

---

Le modèle: Navier-Stokes + Maxwell + loi d'Ohm  $\rightarrow$  MHD

## La nécessité de la parallélisation

Le modèle: Navier-Stokes + Maxwell + loi d'Ohm  $\rightarrow$  MHD

$$\left\{ \begin{array}{l} \text{sur } \Omega : \\ \partial_t \rho + \operatorname{div}(\rho u) = 0 \\ \partial_t(\rho u) + \rho u \cdot \nabla u - \operatorname{div}(2\nu d(u)) + \nabla p = \rho g + \frac{1}{\mu_0} \operatorname{rot} B \times B \\ \operatorname{div} u = 0 \\ \partial_t B + \frac{1}{\mu_0} \operatorname{rot} \left( \frac{1}{\sigma} \operatorname{rot} B \right) = \operatorname{rot}(u \times B) \\ \operatorname{div} B = 0 \\ \text{sur } \Gamma : \\ u = 0 \\ \frac{1}{\mu_0 \sigma} \operatorname{rot} B \times n = k \times n \\ B \cdot n = q \end{array} \right.$$

## La nécessité de la parallélisation

---

Le modèle: Navier-Stokes + Maxwell + loi d'Ohm  $\rightarrow$  MHD

- ▶ 3D, 7 inconnues scalaires ( $u, B, p$ )
- ▶ 3 non-linéarités (advection, force de Lorentz, loi d'Ohm)
- ▶ problème d'évolution
- ▶ contrôle optimal (pour la suite)

## La nécessité de la parallélisation

---

Le modèle: Navier-Stokes + Maxwell + loi d'Ohm  $\rightarrow$  MHD

- ▶ 3D, 7 inconnues scalaires  $(u, B, p)$ 
  - ▶ nombre élevé de degrés de liberté
- ▶ 3 non-linéarités (advection, force de Lorentz, loi d'Ohm)
- ▶ problème d'évolution
- ▶ contrôle optimal (pour la suite)

## La nécessité de la parallélisation

---

Le modèle: Navier-Stokes + Maxwell + loi d'Ohm  $\rightarrow$  MHD

- ▶ 3D, 7 inconnues scalaires  $(u, B, p)$ 
  - ▶ nombre élevé de degrés de liberté
- ▶ 3 non-linéarités (advection, force de Lorentz, loi d'Ohm)
  - ▶ GMRES + point fixe ou Newton-Raphson
- ▶ problème d'évolution
  
- ▶ contrôle optimal (pour la suite)

## La nécessité de la parallélisation

---

Le modèle: Navier-Stokes + Maxwell + loi d'Ohm  $\rightarrow$  MHD

- ▶ 3D, 7 inconnues scalaires  $(u, B, p)$ 
  - ▶ nombre élevé de degrés de liberté
- ▶ 3 non-linéarités (advection, force de Lorentz, loi d'Ohm)
  - ▶ GMRES + point fixe ou Newton-Raphson
- ▶ problème d'évolution
  - ▶ schéma d'Euler semi-implicite
- ▶ contrôle optimal (pour la suite)



## La nécessité de la parallélisation

Le modèle: Navier-Stokes + Maxwell + loi d'Ohm  $\rightarrow$  MHD

- ▶ 3D, 7 inconnues scalaires  $(u, B, p)$ 
  - ▶ nombre élevé de degrés de liberté
- ▶ 3 non-linéarités (advection, force de Lorentz, loi d'Ohm)
  - ▶ GMRES + point fixe ou Newton-Raphson
- ▶ problème d'évolution
  - ▶ schéma d'Euler semi-implicite
- ▶ contrôle optimal (pour la suite)
  - ▶ algorithme de gradient, état adjoint

## Type de parallélisme retenu

---

Classification de Flynn (1966) : 2 catégories principales :

- ▶ SIMD (Single Instruction, Multiple Data) : **synchrone**  
(ex : machines vectorielles)
- ▶ MIMD (Multiple Instruction, Multiple Data) : **asynchrone**  
(ex : MPI sur réseau CERMICS)

## Type de parallélisme retenu

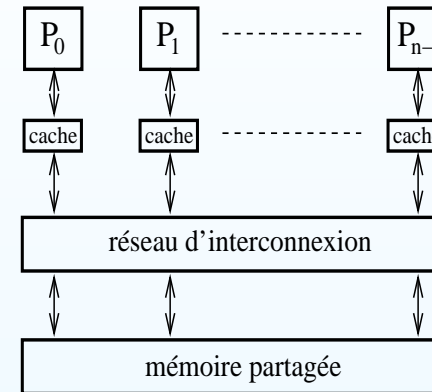
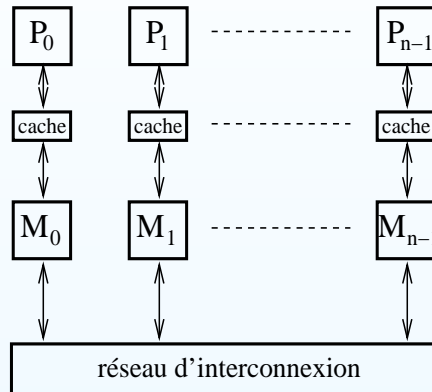
---

Classification de Flynn (1966) : 2 catégories principales :

- ▶ SIMD (Single Instruction, Multiple Data) : **synchrone**  
(ex : machines vectorielles)
- ▶ MIMD (Multiple Instruction, Multiple Data) : **asynchrone**  
(ex : MPI sur réseau CERMICS)
  - ▶ SPMD (Single Program, Multiple Data) : exécution asynchrone d'une même instruction sur des données différentes, variante de MIMD

**Avantages** : souplesse d'utilisation (clusters, réseaux),  
unique code source,  
architecture la plus répandue

# Mémoire distribuée / mémoire partagée



(P: processeur, M: mémoire)

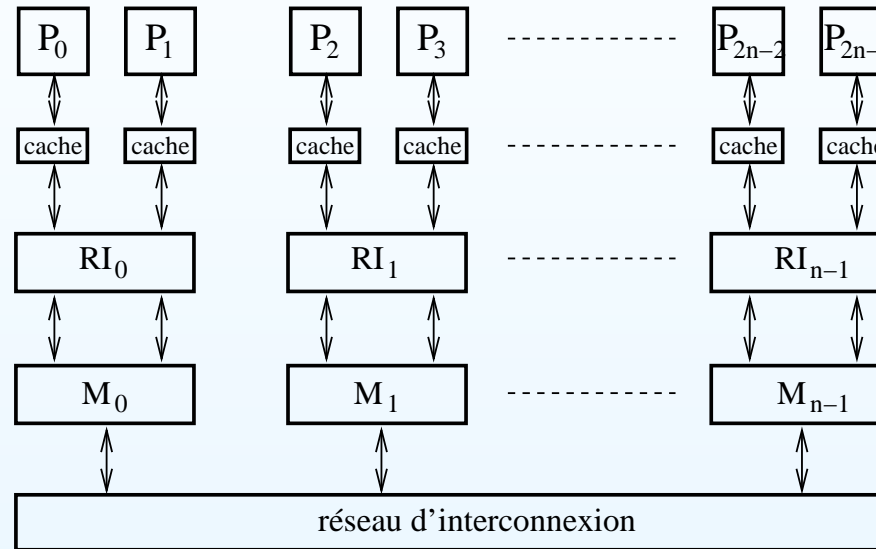
**Avantage** de la mémoire **distribuée** : accès rapide à la mémoire

**Inconvénient** : communications lentes avec les autres machines

Mémoire **partagée** : c'est l'inverse

# Le matériel du CERMICS

Système hybride :



CLUMPS (cluster de SMP, Symmetric Multiprocessor)

Le CLUMPS du CERMICS est actuellement constitué de  
6 biprocesseurs

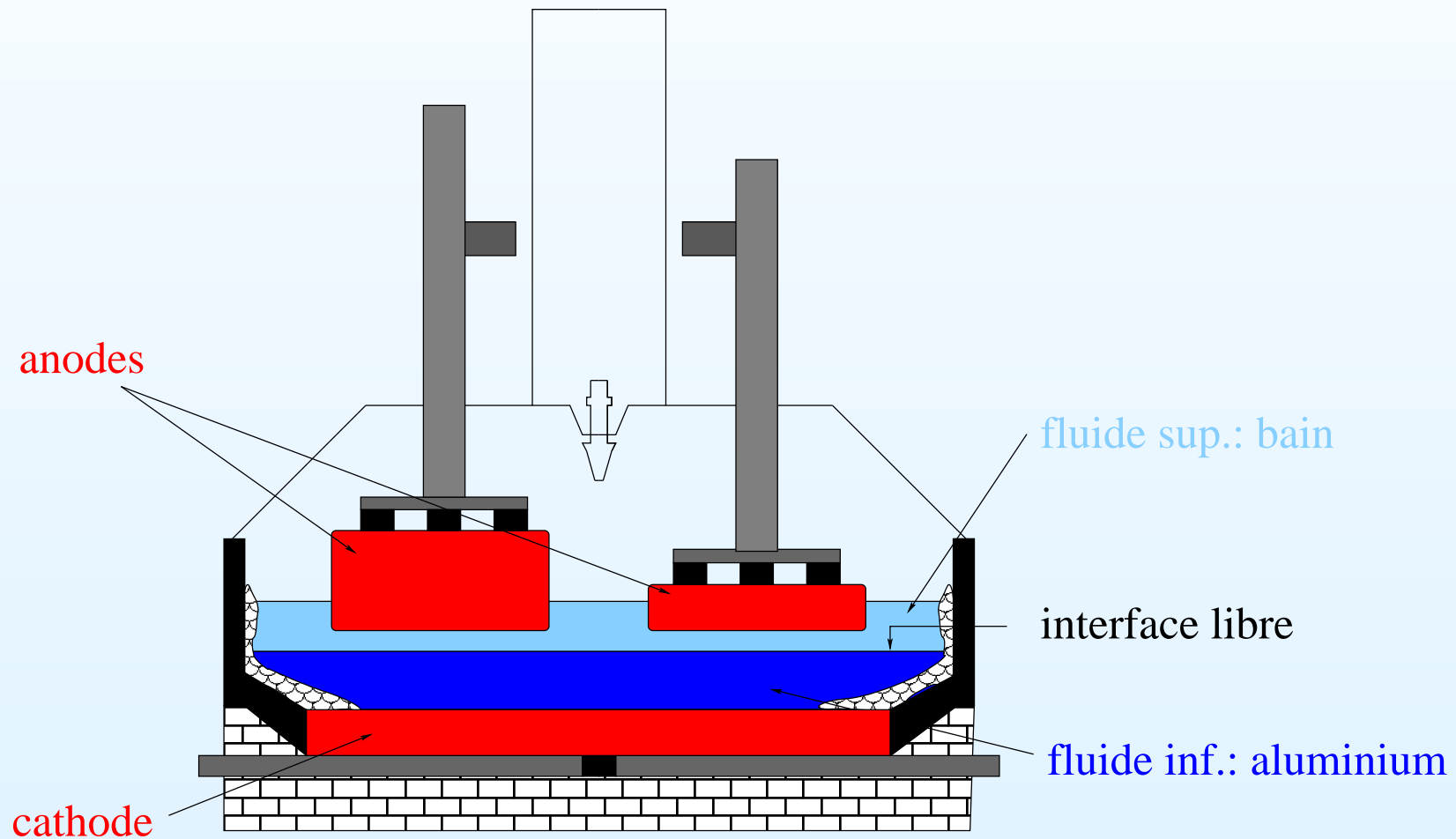
## I - Le code *Mistral*

---

- ▶ Présentation
- ▶ Chargement du maillage
- ▶ Initialisation des éléments finis
- ▶ Construction du profil creux de la matrice
- ▶ Construction du système linéaire
- ▶ Problèmes non linéaires et / ou d'évolution
- ▶ Phénomènes bifluïdes : formulation ALE
- ▶ Exemple

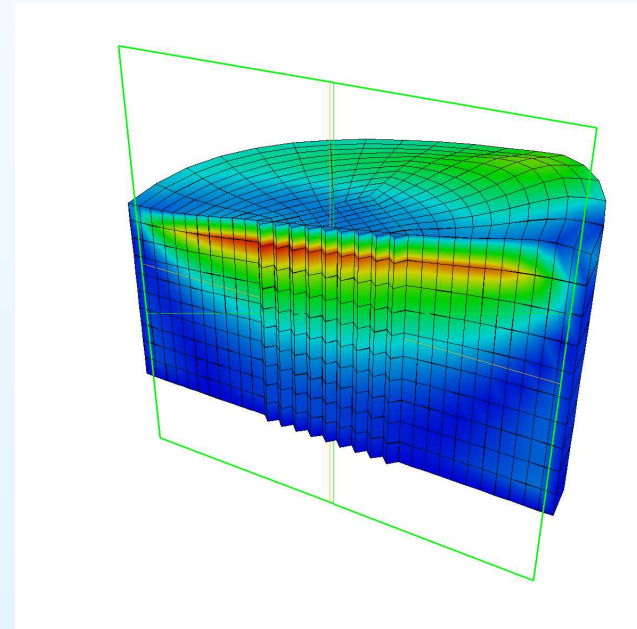
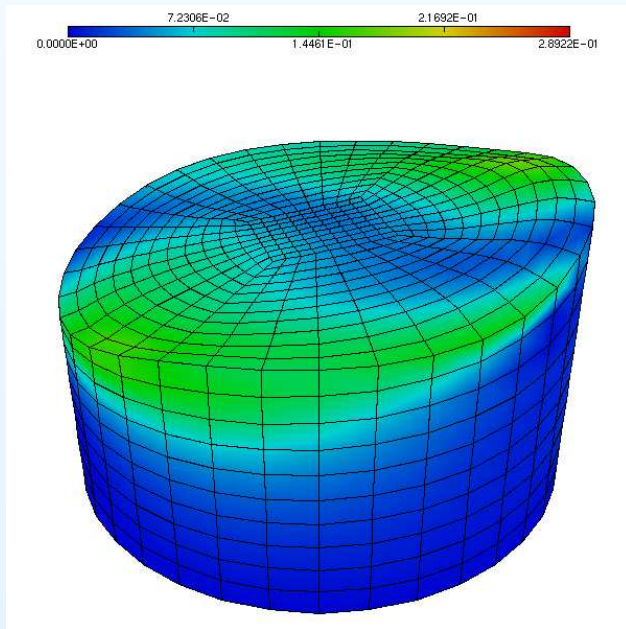
## I.1 - Présentation

- Le phénomène physique :  
modélisation MHD d'une réaction d'électrolyse



## I.1 - Présentation

- ▶ Auteurs : J.-F. Gerbeau (INRIA) et T. Lelièvre (CERMICS)
- ▶ Langage de programmation : C++
- ▶ Éléments finis  $Q^1$  stabilisés
- ▶ 2 fluides séparés par une interface mobile → formulation ALE

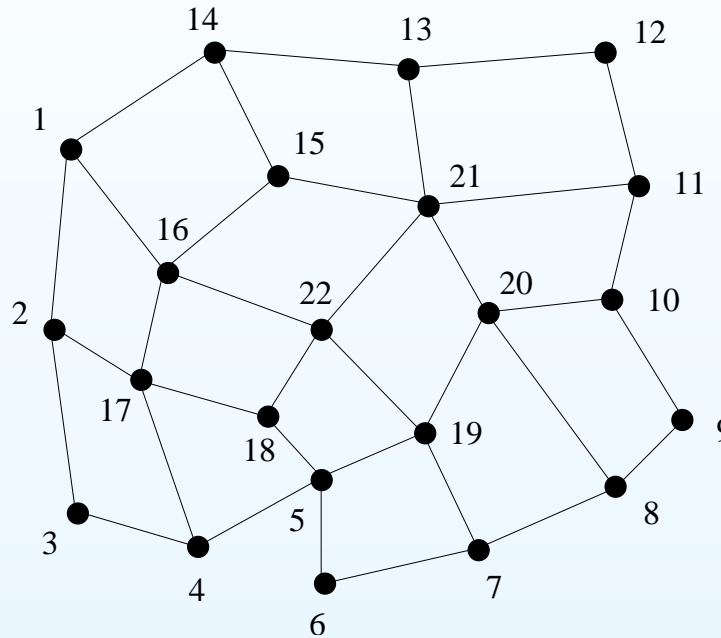


Le cas test du “rolling”



## I.2 - Chargement du maillage

- Fichier d'entrée *Fidap Neutral File* → objet *Geometrie* en mémoire



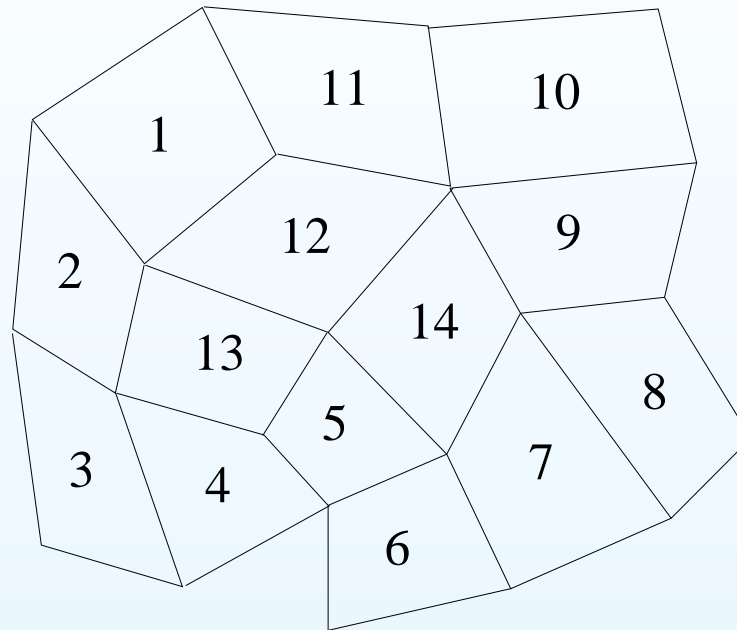
Liste de nœuds

Structure de données :  $Geometrie = \bigcup Figure = \bigcup \bigcup Elemgeo$

*Figure, Elemgeo* : surfaciques ou volumiques

## I.2 - Chargement du maillage

- Fichier d'entrée *Fidap Neutral File* → objet *Geometrie* en mémoire



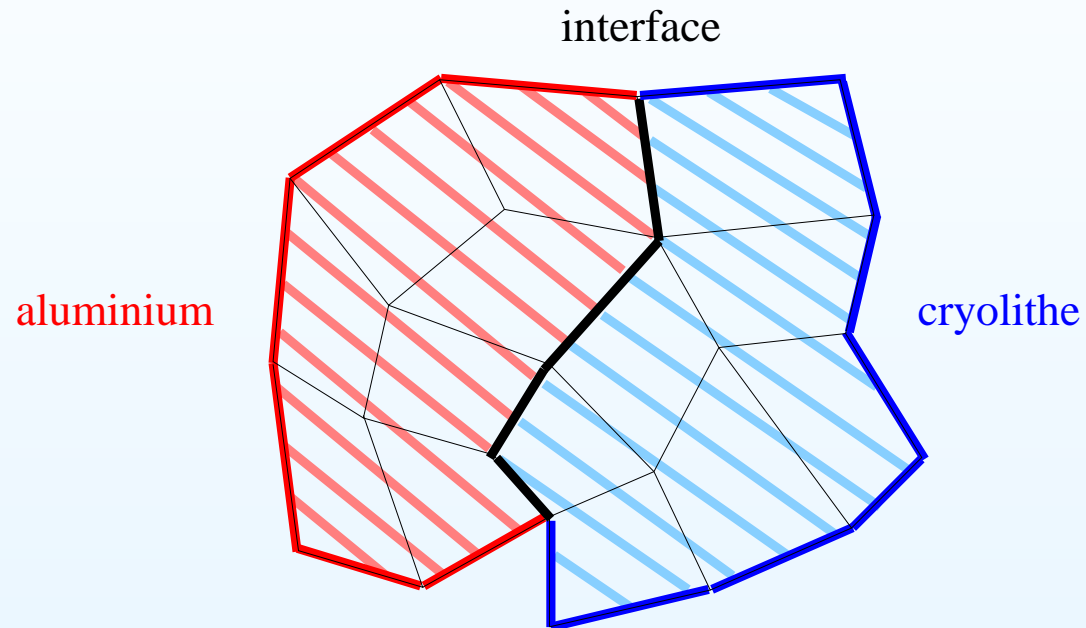
Liste de nœuds

Structure de données :  $Geometrie = \bigcup Figure = \bigcup \bigcup Elemgeo$

*Figure, Elemgeo* : surfaciques ou volumiques

## I.2 - Chargement du maillage

- ▶ Fichier d'entrée *Fidap Neutral File* → objet *Geometrie* en mémoire



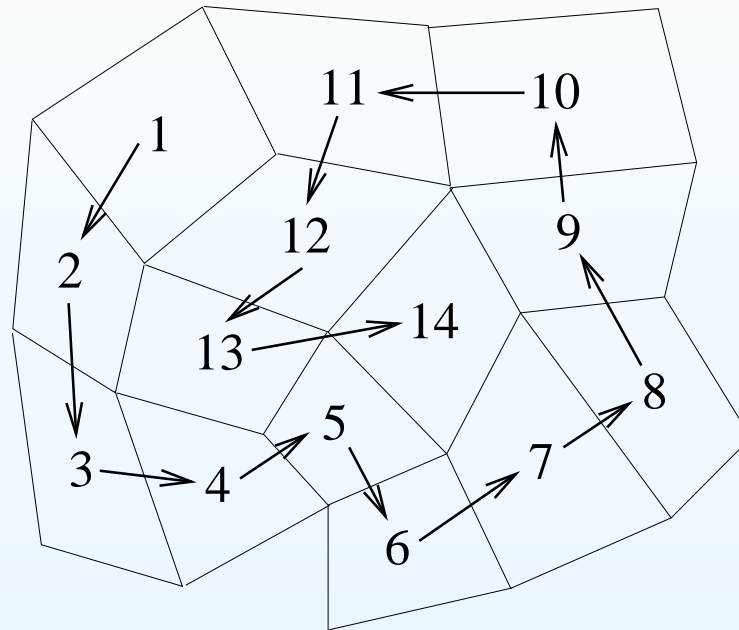
Liste de nœuds

Structure de données :  $Geometrie = \bigcup Figure = \bigcup \bigcup Elemgeo$

*Figure, Elemgeo* : surfaciques ou volumiques

## I.3 - Initialisation des éléments finis

Principe : parcours des éléments géométriques :



Pour chacun d'entre eux : création d'un élément fini associé

► Affectation de 2 jeux de fonctions de formes

⇒ 2 types d'interpolation (pour les problèmes mixtes)

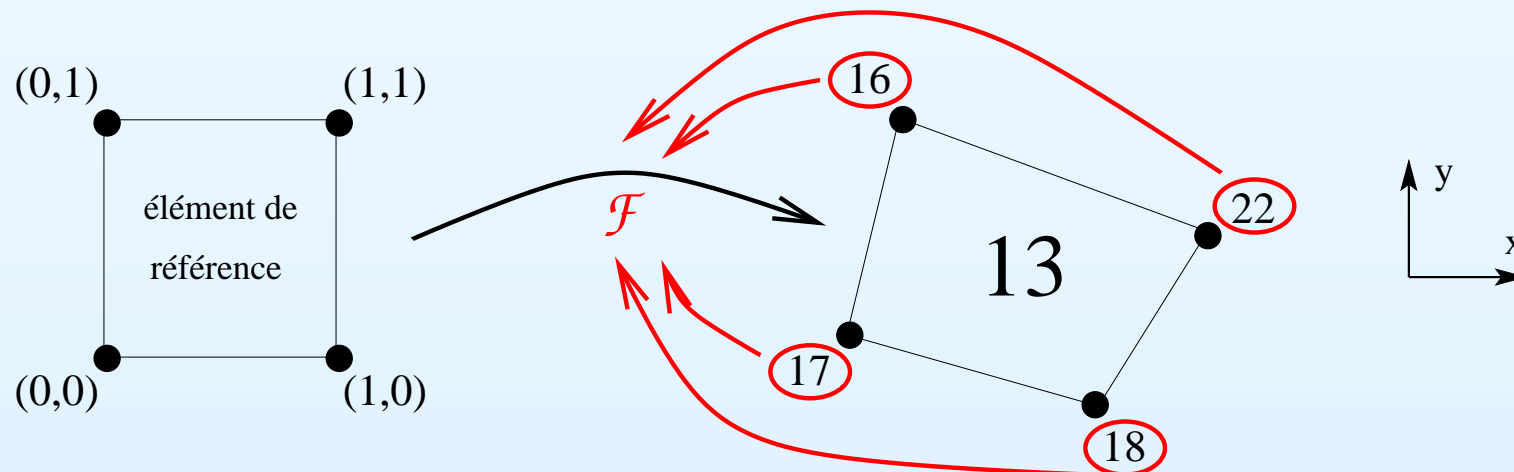
## I.3 - Initialisation des éléments finis (exemple)

Tout élément fini (objet *Elemfi*) est muni de l'ensemble des opérateurs variationnels discrets implémentés à ce jour.

Par exemple, dans le cas du laplacien, il peut à ce stade calculer sa matrice élémentaire :

$$\mathbb{A} = (\mathbb{A}_{ij})_{1 \leq i, j \leq 4} = \left( \int_K \nabla \tau_i \nabla \tau_j \right)_{1 \leq i, j \leq 4}.$$

grâce aux coordonnées de ses sommets :



## I.4 - Construction du profil creux de la matrice

Principe de *Mistral* : implémentation classique des méthodes d'éléments finis = calcul élémentaire + **assemblage** + résolution

► **Profil de matrice creuse à déterminer** (format *SparseLib++*)

( $\Rightarrow$  économies de mémoire)

1) Numérotation des **degrés de liberté**

► **1 ddl** = combinaison entre **1 nœud** et **1 inconnue scalaire**

► Conditions de **Dirichlet** imposées par **élimination**

$\Rightarrow$  **suppression** de certains degrés de liberté

2) Établissement de la **connectivité** du système linéaire

## I.4 - Construction du profil creux de la matrice

Élimination des conditions de Dirichlet : le système linéaire :

$$\left[ \begin{array}{c|c} I & 0 \\ \hline A_D & A \end{array} \right] \begin{bmatrix} X \\ \phantom{X} \end{bmatrix} = \begin{bmatrix} X_D \\ \phantom{X_D} \\ Y \end{bmatrix}$$

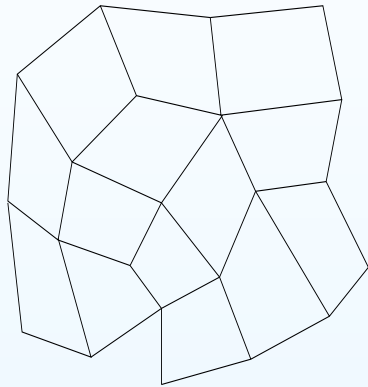
devient :

$$\begin{bmatrix} A \end{bmatrix} \begin{bmatrix} X_{\overline{D}} \end{bmatrix} = \begin{bmatrix} Y - A_D X_D \end{bmatrix} .$$

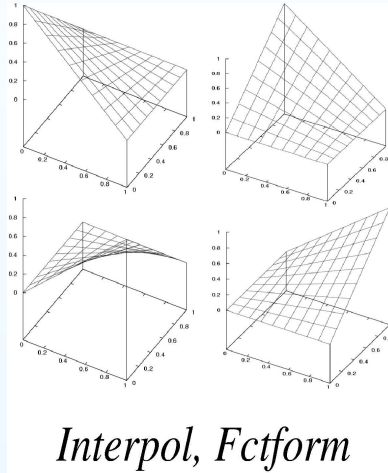
( $D$  = ensemble des degrés éliminés)

# Résumé

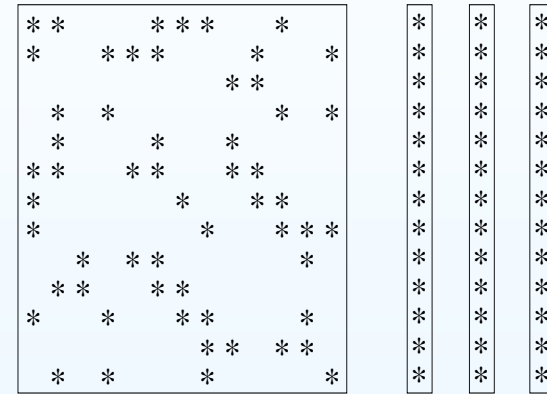
Les 3 étapes précédentes = **INITIALISATION** :



+



$\xrightarrow[\text{def}()]{\text{dirichlet}()}$



*Geometrie, Figure, Elemgeo*

*Interpol, Fctform*

*Elemfi, DegLib, Matrice, Vecteur*

Cette phase d'initialisation, qui traite donc **8 types d'objets**, se fait dans le **constructeur** de l'objet modélisant le problème, en lisant un **fi chier d'entrée** dans lequel sont contenues les informations nécessaires à cette construction :

- ▶ nom du fi chier de maillage
- ▶ interpolation
- ▶ paramètres numériques, etc...



## I.5 - Construction du système linéaire (assemblage)

Sur chaque élément fini :

- ▶ calculer la matrice élémentaire
- ▶  $\forall$  combinaison “équation + nœud sur l’élément”
  - ▶ si c’est un DDL (ligne)
    - ▶  $\forall$  combinaison “inconnue + nœud sur l’élément”
      - ▶ si c’est un DDL (colonne)
        - ▶ assembler action sur  $X_{\overline{D}}$  dans  $A$
        - ▶ sinon
          - ▶ assembler action sur  $X_D$  dans  $Y$
      - ▶ assembler source dans  $Y$

## I.6 - Résolution

---

### Librairie *SparseLib* ++ : préconditionneurs

- ▶ ID
- ▶ DIAG
- ▶ ILU(k)
- ▶ ...

### Librairie *IML* ++ : solveurs de type Krylov

- ▶ gradient conjugué
- ▶ GMRES
- ▶ BiCGSstab
- ▶ ...

### Exemples

- ▶ problème de Stokes : ID + gradient conjugué
- ▶ problème de MHD : ILU(0) + GMRES

## I.7 - Problèmes non linéaires et / ou instationnaires

Exemple : Navier-Stokes stationnaire

$$\begin{aligned}u \cdot \nabla u - \nu \Delta u + \nabla p &= f, \\ \operatorname{div} u &= 0,\end{aligned}$$

► Algorithme de point fixe :

$$\begin{aligned}u^n \cdot \nabla u^{n+1} - \nu \Delta u^{n+1} + \nabla p^{n+1} &= f, \\ \operatorname{div} u^{n+1} &= 0,\end{aligned}$$

ou éventuellement de type Newton-Raphson

Assemblage et résolution sont englobés dans une boucle gérée par la fonction *avance()* de l'objet *Nonlin* ( $u^n \leftarrow u^{n+1}$ ,  $A \leftarrow 0$ ).

## I.7 - Problèmes non linéaires et / ou instationnaires

Exemple : Navier-Stokes **instationnaire**

$$\begin{aligned}\partial_t u + u \cdot \nabla u - \nu \Delta u + \nabla p &= f, \\ \operatorname{div} u &= 0,\end{aligned}$$

► Algorithme de point fixe **relaxé**:

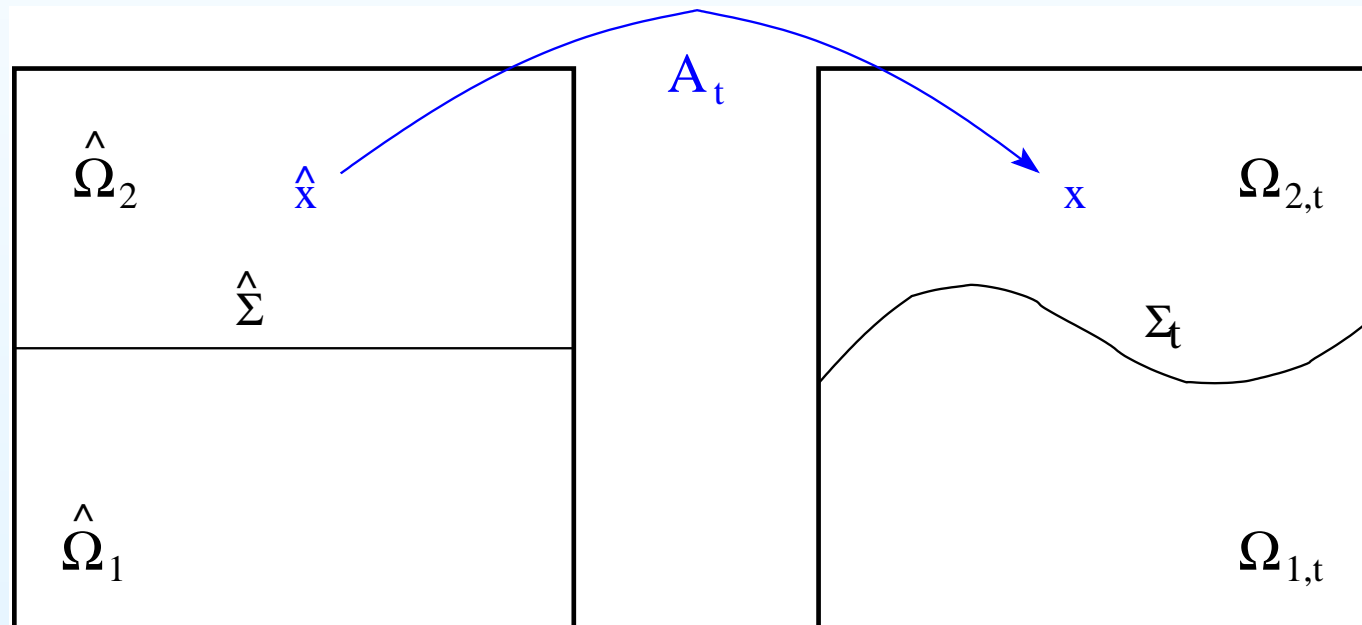
$$\begin{aligned}\frac{u^{n+1} - u^n}{\delta t} + u^n \cdot \nabla u^{n+1} - \nu \Delta u^{n+1} + \nabla p^{n+1} &= f, \\ \operatorname{div} u^{n+1} &= 0,\end{aligned}$$

(schéma d'Euler semi-implicite)

Assemblage et résolution sont englobés dans une boucle gérée par la fonction *avance()* de l'objet *Transit* ( $u^n \leftarrow u^{n+1}$ ,  $A \leftarrow 0$ ).

## I.8 - Modèles bifluïdes : formulation ALE

- ▶ même principe que pour les problèmes transitoires
- ▶ déplacement du maillage à chaque pas de temps
- ▶ 2 assemblages : avant et après déplacement du maillage



Vitesse du domaine :  $w(x, t) = \partial_t A_t(\hat{x})$ , où  $\hat{x} = A_t^{-1}(x)$

## I.8 - Modèles bifluïdes : formulation ALE

---

### 1) Résolution du déplacement du maillage

- ▶ les frontières du domaine restent fixes  $\Rightarrow w \cdot \nu = 0$  sur  $\partial\Omega$
- ▶ l'interface sépare les 2 fluïdes  $\Rightarrow w \cdot \nu = u \cdot \nu$  sur  $\Sigma$   
( $\nu$  = normale sortante)

Ces conditions ne déterminent pas complètement  $w$ .

## I.8 - Modèles bifluïdes : formulation ALE

### 1) Résolution du déplacement du maillage

- ▶ les frontières du domaine restent fixes  $\Rightarrow w \cdot \nu = 0$  sur  $\partial\Omega$
- ▶ l'interface sépare les 2 fluïdes  $\Rightarrow w \cdot \nu = u \cdot \nu$  sur  $\Sigma$   
( $\nu$  = normale sortante)

Ces conditions ne déterminent pas complètement  $w$ .  
Alors on cherche  $w = (0, 0, w_z)$ , tel que :

$$\begin{cases} -\Delta w_z & = & 0 & \text{sur } \Omega \\ w_z & = & u \cdot \nu / \nu_z & \text{sur } \Sigma \\ \partial_\nu w_z & = & 0 & \text{sur } \partial\Omega \end{cases}$$

Un système linéaire indépendant du problème principal est implémenté pour traiter ce problème

## I.8 - Modèles bifluïdes : formulation ALE

---

2) Prise en compte de la contrainte de masse :  $\int_{\Sigma} u \cdot \nu = 0$

$$\Rightarrow \int_{\Omega_1^n} \operatorname{div} u_h \, dx = 0 \quad (\text{car} \quad \int_{\partial\Omega_1^n} u_h \cdot \nu_h \, dx = 0 \quad ).$$



## I.8 - Modèles bifluïdes : formulation ALE

---

2) Prise en compte de la contrainte de masse :  $\int_{\Sigma} u \cdot \nu = 0$

$$\Rightarrow \int_{\Omega_1^n} \operatorname{div} u_h \, dx = 0 \quad (\text{car} \quad \int_{\partial\Omega_1^n} u_h \cdot \nu_h \, dx = 0 \quad ).$$

Non vérifiée pour les éléments finis continus en pression !

## I.8 - Modèles bifluïdes : formulation ALE

2) Prise en compte de la contrainte de masse :  $\int_{\Sigma} u \cdot \nu = 0$

$$\Rightarrow \int_{\Omega_1^n} \operatorname{div} u_h \, dx = 0 \quad (\text{car} \quad \int_{\partial\Omega_1^n} u_h \cdot \nu_h \, dx = 0 \quad ).$$

Non vérifiée pour les éléments finis continus en pression !

$\Rightarrow$  multiplicateur de Lagrange ( $\lambda$ ) associé à cette contrainte :

$$\Rightarrow \text{ système : } \left[ \begin{array}{c|c} A & \Phi^T \\ \hline \Phi & 0 \end{array} \right] \begin{bmatrix} X_{\overline{D}} \\ \lambda \end{bmatrix} = \begin{bmatrix} Y - A_D X_D \\ 0 \end{bmatrix} .$$

## II - La librairie *Aztec*

---

- ▶ Présentation
- ▶ Principe
- ▶ Exemple

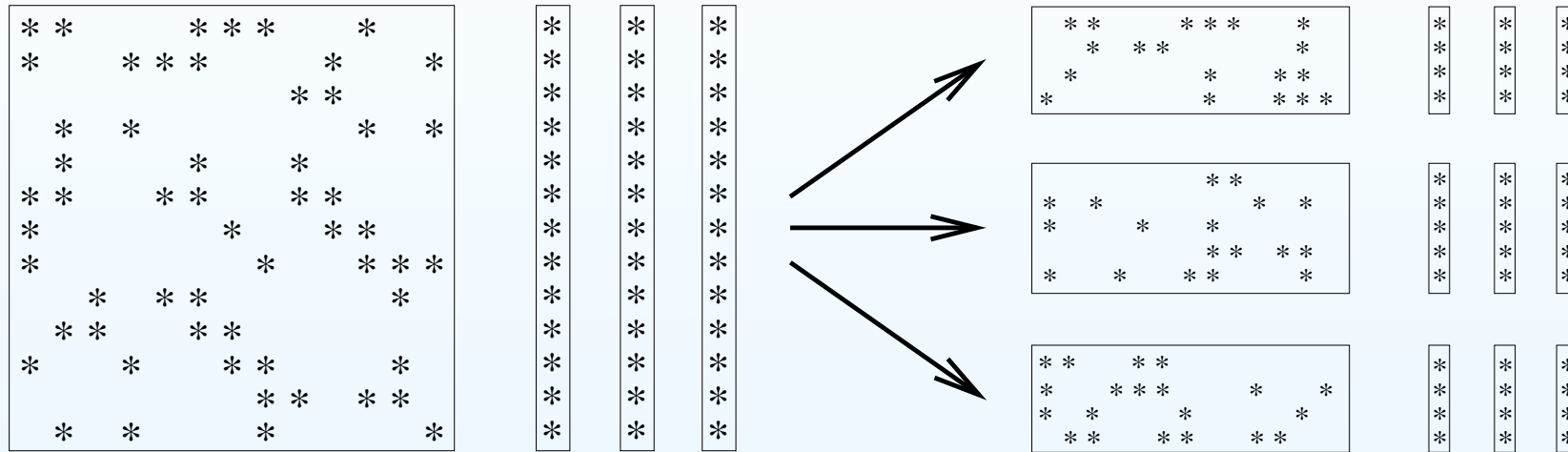
## II.1 - Présentation

---

- ▶ Surcouche de *MPI* (*Message Passing Interface*)
- ▶ **Solveur parallèle** de systèmes linéaires creux de grande taille
  - ▶ Méthodes de Krylov : CG, BiCGStab, GMRES, ...
- ▶ **Préconditionneur parallèle** (Schwarz additif)
  - ▶ LU et ses variantes (ILU(k), ILUT, BILU, ...)
- ▶ Agrandissement et réduction de la matrice (“scaling”)
- ▶ Réutilisation d’un même préconditionnement sur plusieurs résolutions successives
- ▶ Format pour les sous-matrices : DMSR (Distributed MSR)

## II.2 - Principe

1) Division du système en sous-matrices rectangulaires (lignes) :



Les indices des lignes affectées à chaque processeur sont dans le tableau *update*. Exemple :

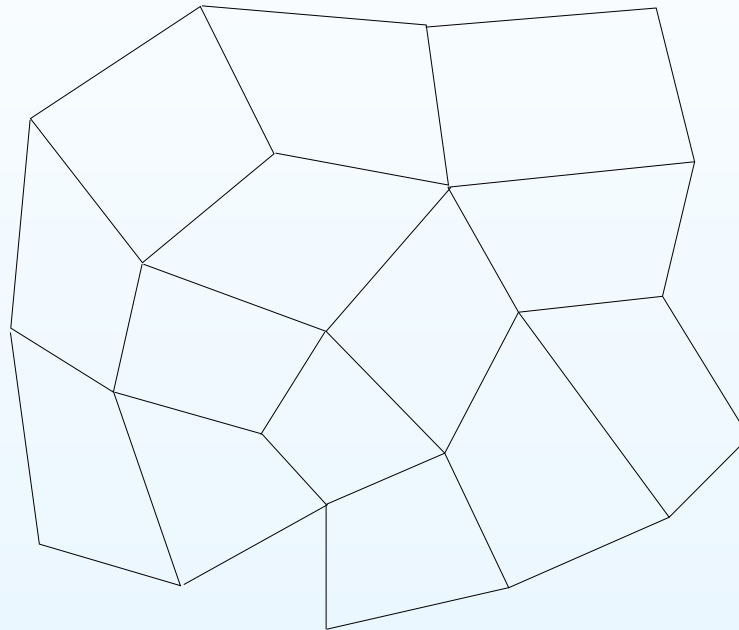
$$update(0) = \begin{array}{|c|c|c|c|} \hline 6 & 0 & 3 & 12 \\ \hline \end{array},$$

$$update(1) = \begin{array}{|c|c|c|c|c|} \hline 10 & 7 & 4 & 1 & 2 \\ \hline \end{array},$$

$$update(2) = \begin{array}{|c|c|c|c|} \hline 9 & 5 & 11 & 8 \\ \hline \end{array}.$$

## II.2 - Principe

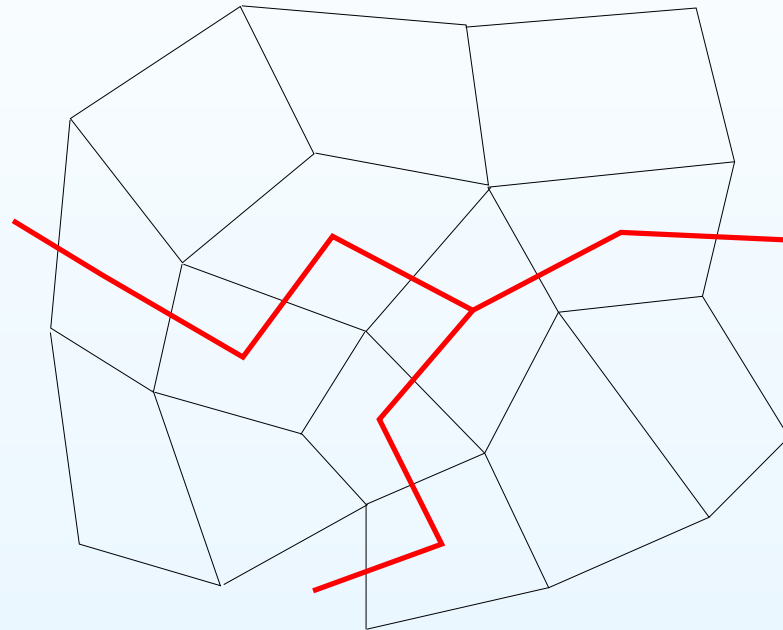
### 2) Transformation des sous-matrices :



## II.2 - Principe

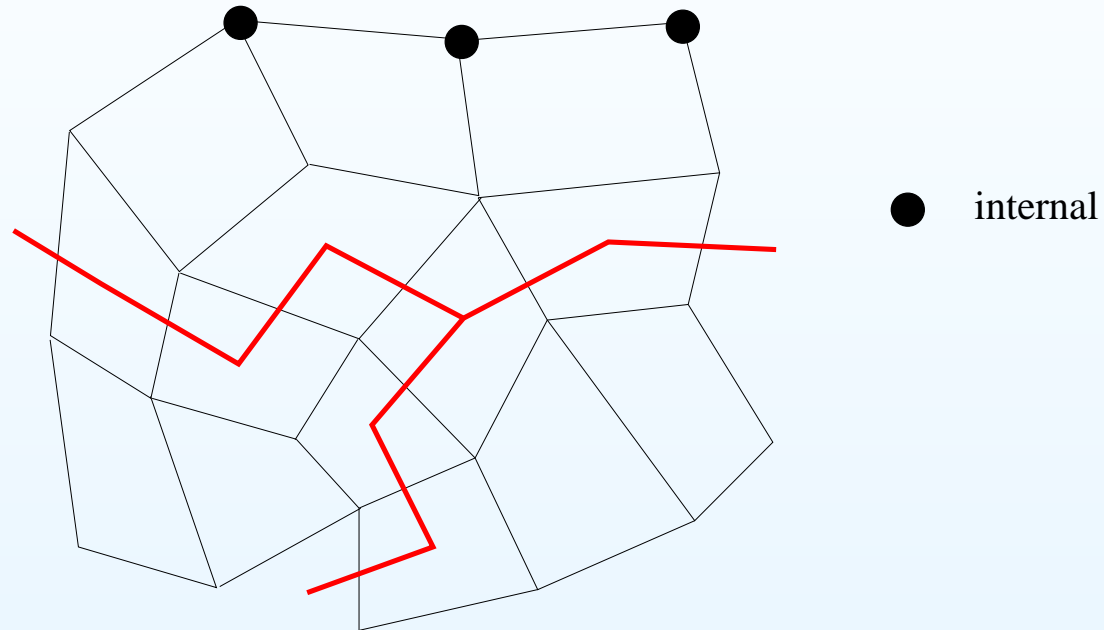
---

### 2) Transformation des sous-matrices :



## II.2 - Principe

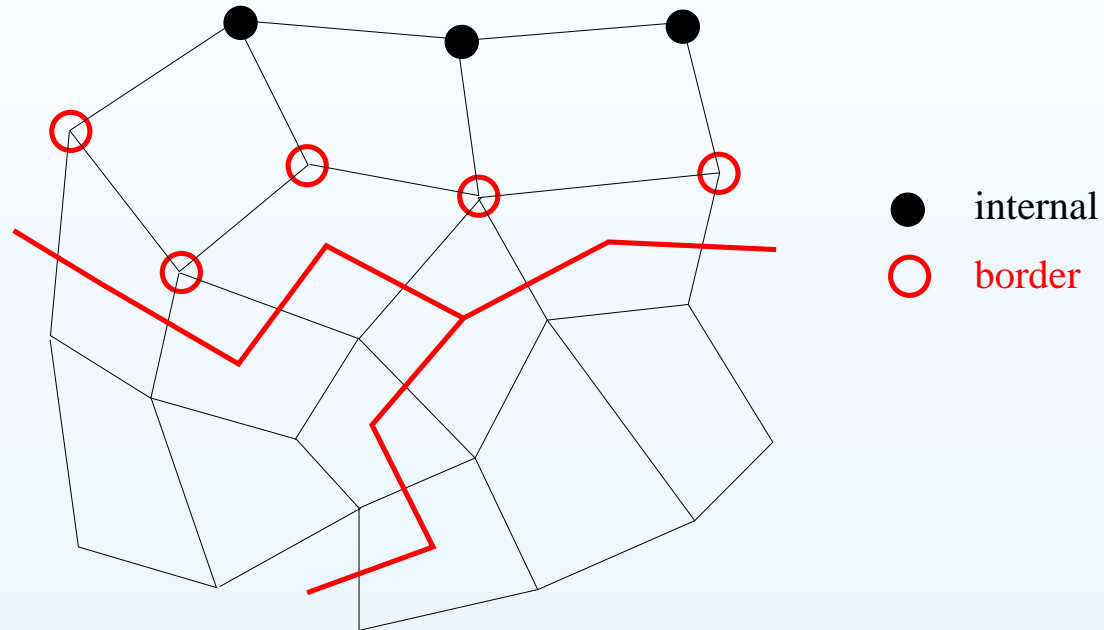
### 2) Transformation des sous-matrices :





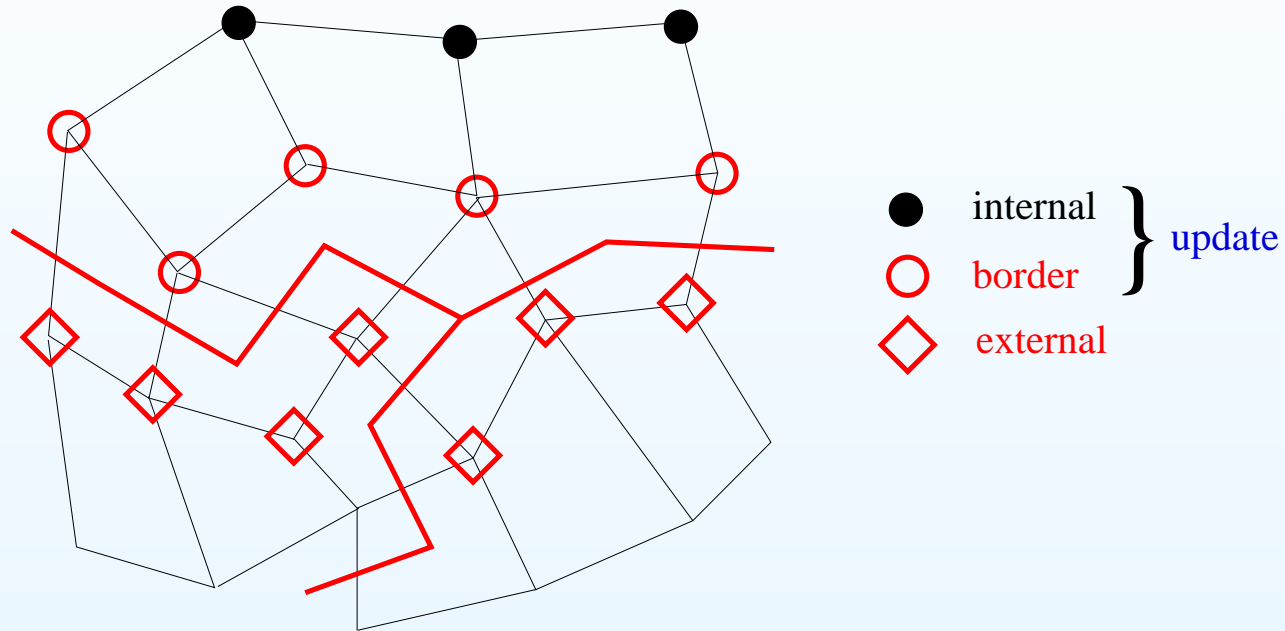
## II.2 - Principe

### 2) Transformation des sous-matrices :



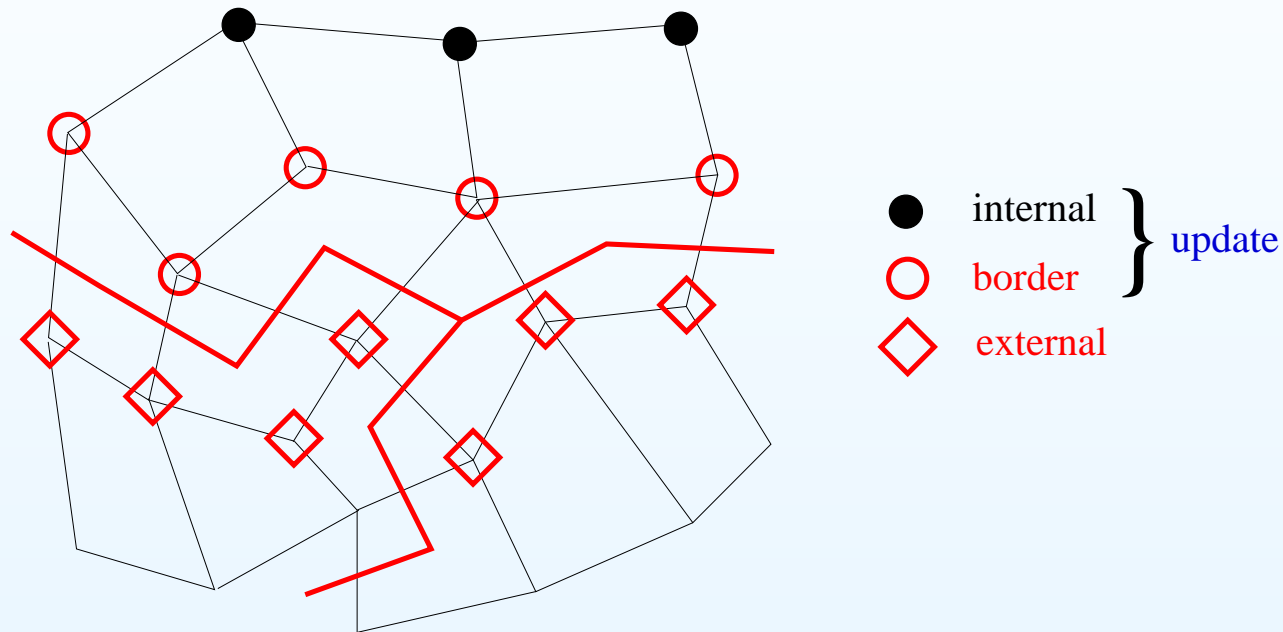
## II.2 - Principe

### 2) Transformation des sous-matrices :



## II.2 - Principe

### 2) Transformation des sous-matrices :



$AZ\_transform()$  réindexe les sous-matrices dans l'ordre :



et génère les tableaux de redirection  $update\_index$  et  $extern\_index$

## II.3 - Exemple : problème de Poisson

$$\begin{array}{cccccccccccc} -1 & 0 & 0 & 0 & 4 & -1 & 0 & 0 & -1 & 0 & 0 & 0 \\ 0 & -1 & 0 & 0 & -1 & 4 & -1 & 0 & 0 & -1 & 0 & 0 \\ 0 & 0 & -1 & 0 & 0 & -1 & 4 & -1 & 0 & 0 & -1 & 0 \\ 0 & 0 & 0 & -1 & 0 & 0 & -1 & 4 & -1 & 0 & 0 & -1 \end{array}$$

### ► Instructions (principales) à écrire :

*MPI\_Init(...)*

*AZ\_set\_proc\_config(...)*

*AZ\_read\_update(...)*

*create\_matrix\_row(update[i])* |

Si *update[i] = 0* : *b[0] ← 1* |

Sinon : *b[update[i]] ← 0* |

$\forall$  *update[i]*

*AZ\_transform(...)*

*AZ\_reorder\_vec(...)*

*AZ\_solve(...)* (← GMRES, ILU)

*MPI\_Finalize(...)*

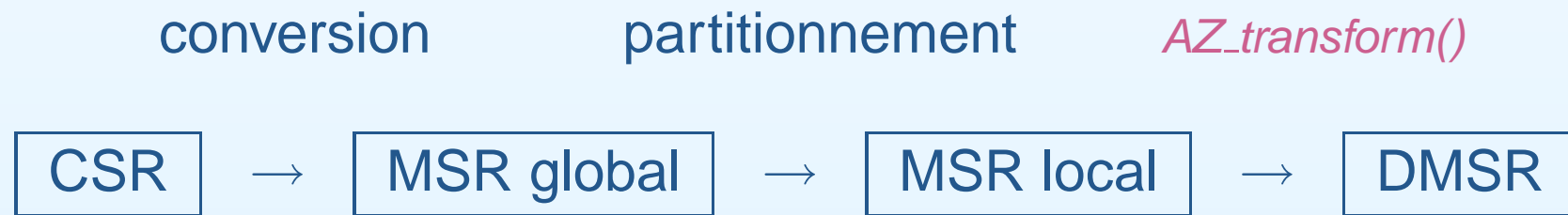
### III - Parallélisation du code *Mistral*

---

- ▶ Présentation
- ▶ Parallélisation de la méthode itérative
- ▶ Parallélisation de l'assemblage
- ▶ Formulation ALE
- ▶ Numérotation optimale des degrés de liberté
- ▶ Exemple récapitulatif
- ▶ Conclusion

## III.1 - Parallélisation de la méthode itérative

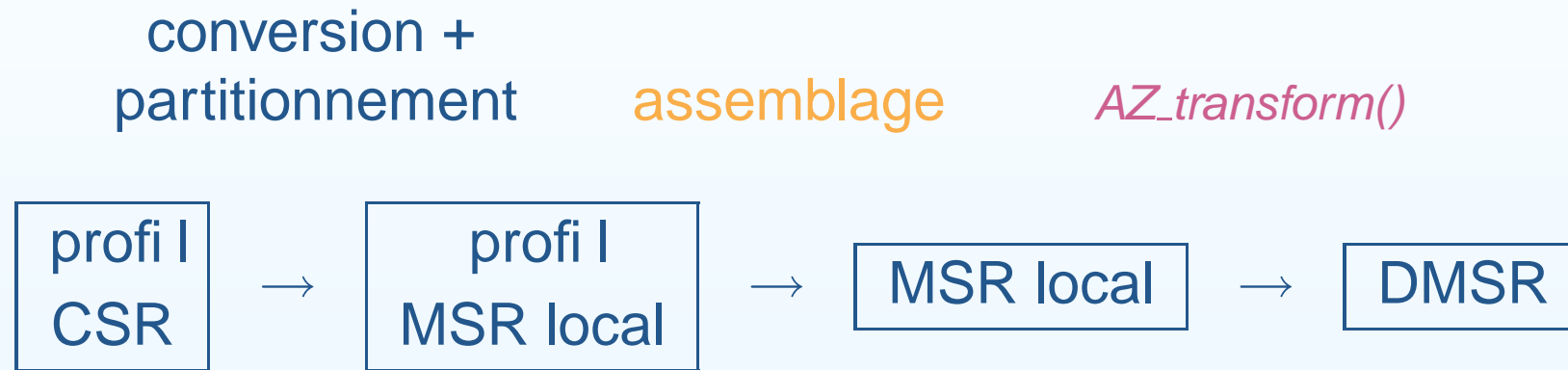
- ▶ Construction du problème exemple d'*Aztec* au format *SparseLib* ++ (CSR, Compressed Sparse Row)
- ▶ Résolution avec *IML* ++ (GMRES,ILU)
- ▶ Conversion CSR→MSR + partitionnement
- ▶ Transformation + résolution par *Aztec* (GMRES,ILU)



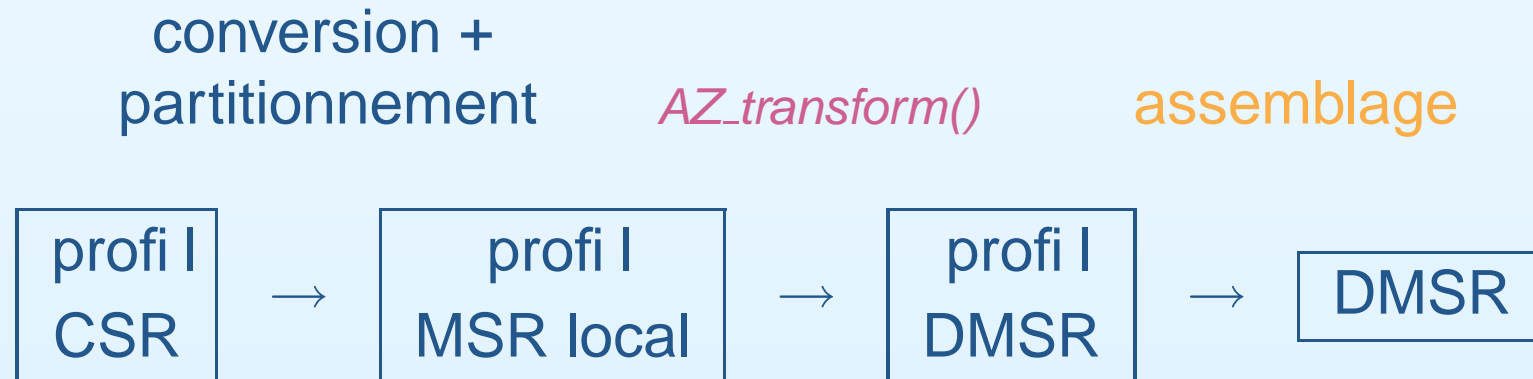
⇒ Même résultat, même nombre d'itérations

## III.2 - Parallélisation de l'assemblage

### 1) Problèmes stationnaires linéaires



### 2) Problèmes à assemblages successifs



## III.3 - Formulation ALE

---

- ▶ Déplacement du maillage : non parallélisé  
(temps de calcul négligeable)



### III.3 - Formulation ALE

- ▶ Déplacement du maillage : non parallélisé (temps de calcul négligeable)
- ▶ **Problème avec la contrainte de masse :** système à résoudre mal adapté au parallélisme :

$$\left[ \begin{array}{c|c} A & \Phi^T \\ \hline \Phi & 0 \end{array} \right] \begin{bmatrix} X_{\bar{D}} \\ \lambda \end{bmatrix} = \begin{bmatrix} Y - A_D X_D \\ 0 \end{bmatrix} .$$

### III.3 - Formulation ALE

► Déplacement du maillage : non parallélisé  
(temps de calcul négligeable)

► **Problème avec la contrainte de masse :**  
système à résoudre mal adapté au parallélisme :

$$\left[ \begin{array}{c|c} A & \Phi^T \\ \hline \Phi & 0 \end{array} \right] \begin{bmatrix} X_{\overline{D}} \\ \lambda \end{bmatrix} = \begin{bmatrix} Y - A_D X_D \\ 0 \end{bmatrix} .$$

► **2 solutions :**

1) Élimination de  $X_{\overline{D}}$  par complément de Schur

2) Dédoublage des degrés de liberté en pression sur l'interface

### III.3 - Formulation ALE

#### 1) Résolution par complément de Schur

$$\begin{bmatrix} A & | & \Phi^T \\ \hline \Phi & | & 0 \end{bmatrix} \begin{bmatrix} X_{\overline{D}} \\ \lambda \end{bmatrix} = \begin{bmatrix} Y - A_D X_D \\ 0 \end{bmatrix}$$

⇓

$$X_{\overline{D}} = A^{-1}(Y - A_D X_D) - \lambda A^{-1} \Phi^T,$$

⇓

$$\lambda = \frac{\Phi A^{-1}(Y - A_D X_D)}{\Phi A^{-1} \Phi^T}$$

### III.3 - Formulation ALE

#### 1) Résolution par complément de Schur

La procédure s'écrit, après assemblages de  $A$  et  $\Phi$  :

- 1) Résoudre en parallèle le système  $AX_1 = Y - A_D X_D$ ,
- 2) Résoudre en parallèle le système  $AX_2 = \Phi^T$ ,
- 3) Calculer  $\Phi X_1$  et  $\Phi X_2$ ,
- 4) Diviser  $\Phi X_1$  par  $\Phi X_2$  pour obtenir  $\lambda$ ,
- 5) Calculer  $X_{\overline{D}}$  en retranchant  $\lambda X_2$  de  $X_1$ .

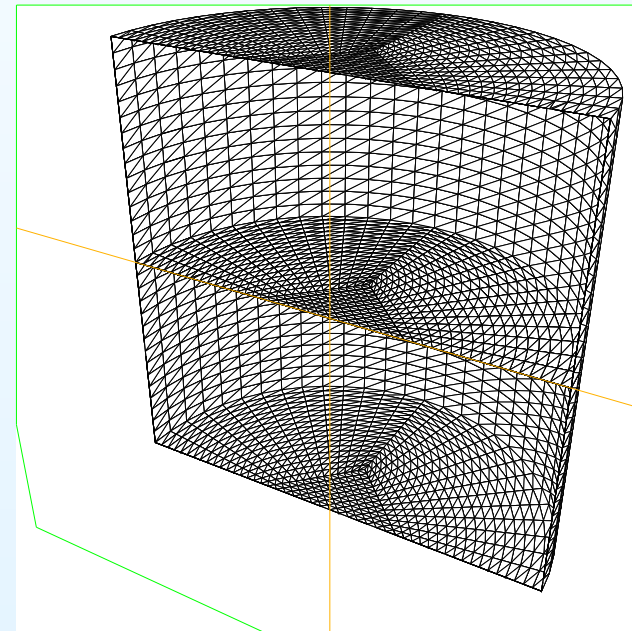
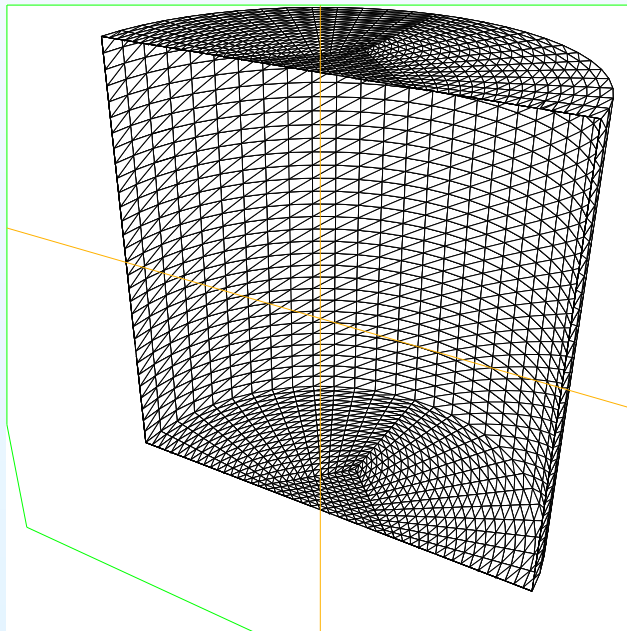
▶ 2 inversions de  $A \Rightarrow$  temps de calcul \* 1.5 !

▶ on cherche à se passer de multiplicateur de Lagrange

### III.3 - Formulation ALE

#### 2) Dédoublage des nœuds du maillage sur l'interface

⇒ Pression  $Q^1$  dans chaque fluide avec possibilité de discontinuité à l'interface



Éléments volumiques visualisés avec *Medit*<sup>®</sup>

### III.3 - Formulation ALE

---

#### 2) Dédoublément des nœuds du maillage sur l'interface

- ▶ Imposition d'une vitesse et d'un champ magnétique continu  
= “fusion” des degrés de liberté concernés à l'aide d'une variante de la fonction de définition de conditions périodiques  
(*write\_periodic\_file()*)
- ▶ Problème de déplacement du maillage : imposition des mêmes conditions de Dirichlet sur les 2 “interfaces”

## III.4 - Numérotation optimale des degrés de liberté

Parallélisation d'un système linéaire = 2 freins à la minimisation du temps de calcul :

- ▶ communications trop importantes
- ▶ perte de la qualité du préconditionnement

⇒ Partitionnement optimal du maillage avec *Metis*<sup>®</sup>  
= minimisation des “cassures” d'arêtes

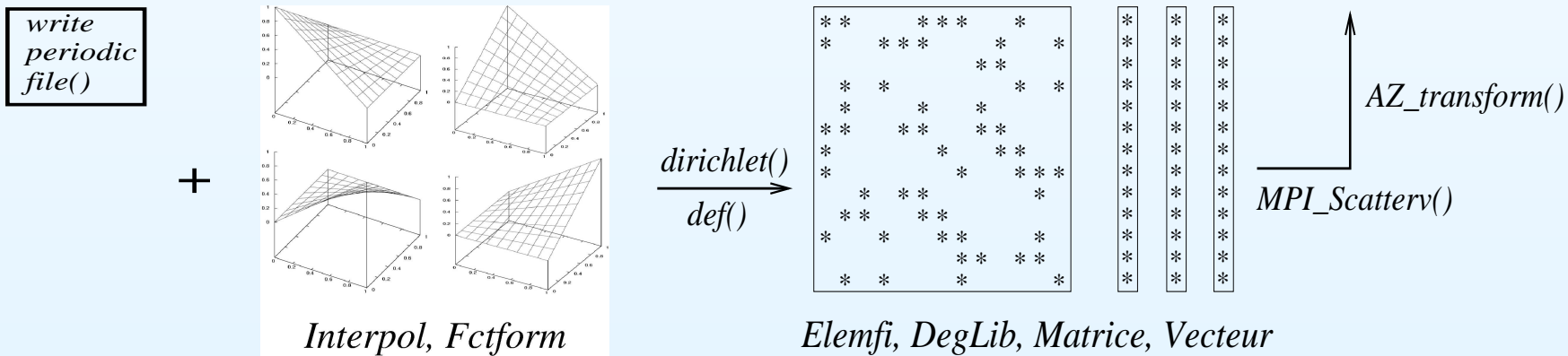
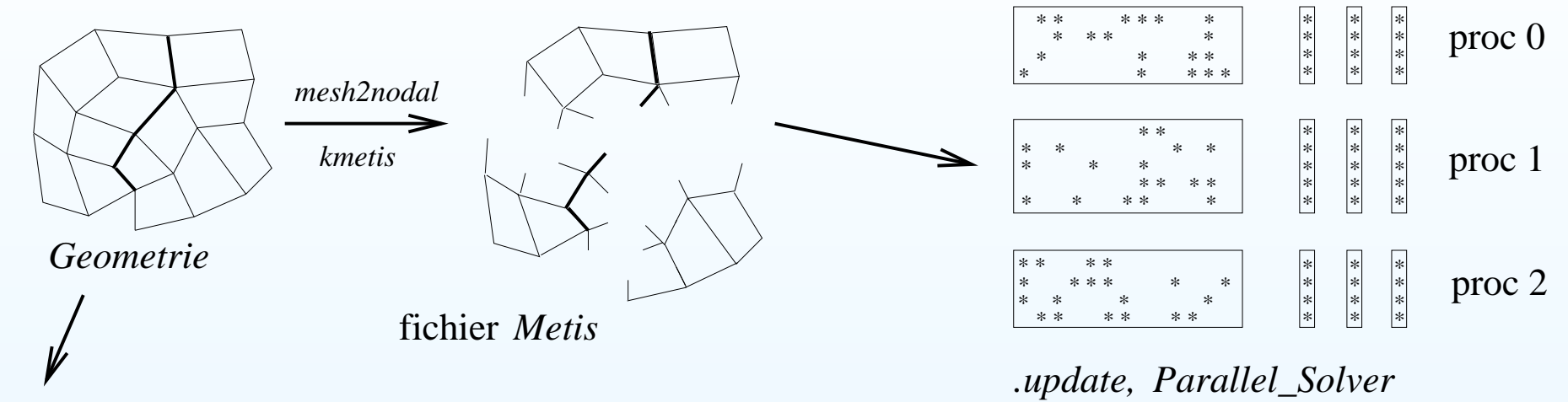
Procédure :

- 1) conversion du maillage en graphe
- 2) partitionnement du graphe en sous-domaines de nœuds
- 3) Transposition en sous-domaines de degrés de liberté  
⇒ tableaux *update*

⇒ 20% d'éléments en moins dans *external*

⇒ 20% d'itérations en moins dans GMRES prec. ILU

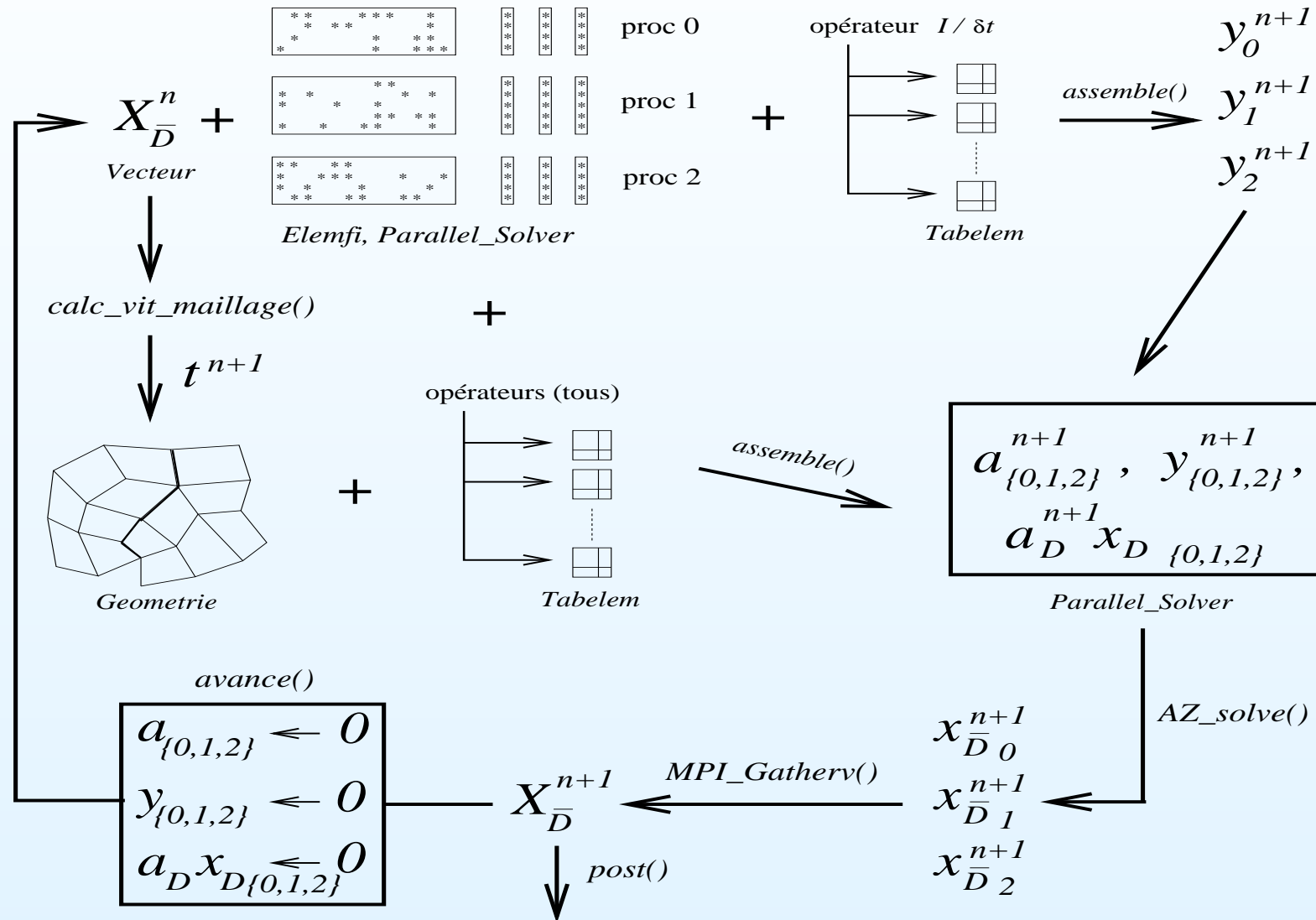
# III.5 - Exemple récapitulatif



## Parallélisation de l'initialisation



# assemblage, résolution et post-traitement



## III.5 - Mesures

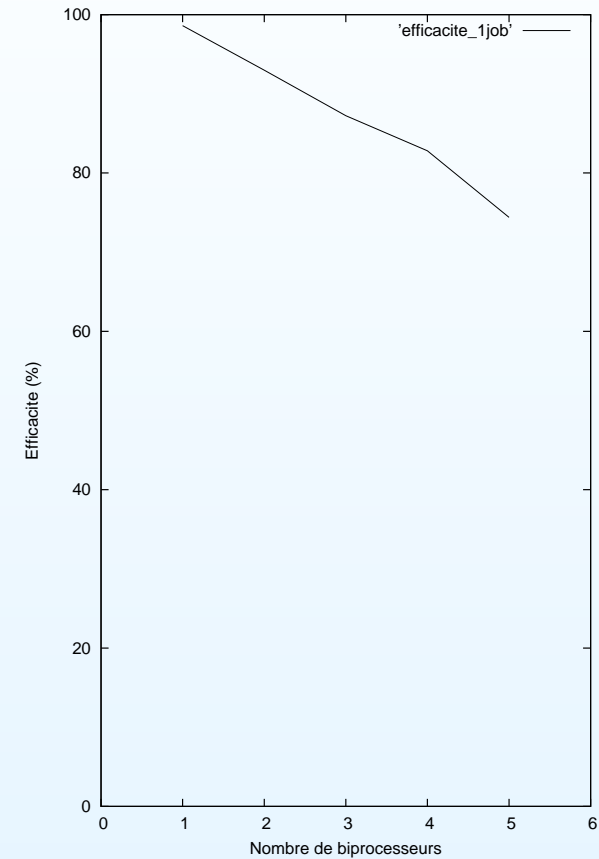
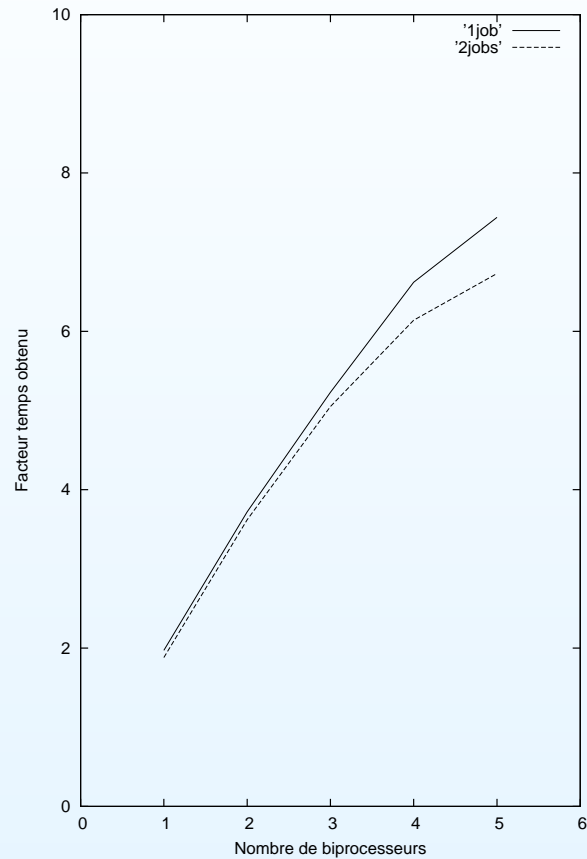
Programme séquentiel :

- ▶ initial : 7 h 23'
- ▶ avec dédoublement de l'interface : 7 h 04'

Programme parallèle :

Nombre de biprocesseurs	1 job par machine	2 jobs par machine
1	3 h 35' (215')	3 h 46' (226')
2	1 h 54' (114')	1 h 57' (117')
3	1 h 21' (81')	1 h 24' (84')
4	1 h 04' (64')	1 h 09' (69')
5	0 h 57' (57')	1 h 03' (63')

# Conclusion



Décomposition de domaine ? Non encore connu en MHD...